

УДК 539.3

## ДВИЖЕНИЕ ЖЕСТКОГО ШТАМПА С МАЛОЙ СКОРОСТЬЮ ПО ГРАНИЦЕ ВЯЗКОУПРУГОЙ ПОЛУПЛОСКОСТИ

А. В. Марк

Институт проблем механики им. А. Ю. Ишлинского РАН, 119526 Москва

E-mail: A-V-Mark@yandex.ru

Рассмотрена контактная задача о взаимодействии жесткого штампа с вязкоупругой полуплоскостью. Определена зависимость перемещения границы полуплоскости от приложенной к ней нормальной нагрузки, выведено и решено методом “малых  $\lambda$ ” интегральное уравнение для определения контактного давления. В графическом виде представлены распределения контактных давлений под штампом.

**Ключевые слова:** вязкоупругая полуплоскость, движущийся штамп, контактное давление.

**Введение.** Исследованию задач о движении штампов с постоянной скоростью по границе вязкоупругой полуплоскости посвящено большое количество работ, подробный обзор которых приведен в [1]. Однако в этих работах недостаточно изучено распределение контактного давления при малых скоростях движения, а также не рассмотрены случаи штампов с острыми краями. В данной работе получено распределение контактного давления под жестким штампом с острыми краями, движущимися с малой постоянной скоростью.

**1. Постановка задачи.** Пусть по границе вязкоупругой полуплоскости в отрицательном направлении оси  $x$  движется штамп. Принимаются следующие предположения. Силы трения между штампом и полуплоскостью отсутствуют, и вне штампа полуплоскость не нагружена. Область контакта между штампом и полуплоскостью описывается неравенством  $x \leq a$  ( $a$  — полудлина области контакта), основание штампа в области контакта является плоским. Для того чтобы штамп находился в равновесии, к нему приложены погонные сила  $P$  и момент. Скорость движения штампа  $V$  во много раз меньше скорости звука в материале полуплоскости, поэтому инерционными членами в уравнениях движения можно пренебречь. Процесс является стационарным, поэтому напряжения  $\sigma_{lj}$ , деформации  $\varepsilon_{lj}$  и перемещения  $u_l$  ( $l = 1, 2, j = 1, 2$ ) можно представить в форме  $f(x + Vt)$ . Материал полуплоскости описывается моделью Кельвина [2]

$$\sigma_{lj} = \frac{2G_*\nu}{1 - 2\nu} \theta + 2G_*\varepsilon_{lj}, \quad \theta = \varepsilon_{ll},$$

$$G_*f(t) = G_f \left( f(t) - (\gamma^{-1} - \mu^{-1}) \int_{-\infty}^t f(\tau) \exp[-(t - \tau)/\gamma] d\tau \right), \quad (1.1)$$

где  $\mu, \gamma$  — характерные времена ползучести и релаксации соответственно;  $G_f$  — мгновенный модуль сдвига;  $\nu$  — коэффициент Пуассона.

Уравнения равновесия и геометрические соотношения имеют стандартный вид.

Граничные условия в движущейся со штампом системе координат записываются следующим образом (в соответствии с линейной теорией упругости граничные условия сформулированы для недеформированной поверхности тела):

$$x \leq a: u'_2(x, 0) = -\delta'_0(x), \quad x > a: \sigma_{22}(x, 0) = 0. \quad (1.2)$$

Кроме того, при  $(x, y) \rightarrow \infty$   $\sigma_{lj} \rightarrow 0$ . В (1.2)  $u'_2(x, 0)$  — производная от вертикальной компоненты перемещения. Так как штамп плоский, то  $\delta'_0(x) \equiv 0$ . Требуется определить распределение контактного давления под штампом  $\sigma_{22}(x, 0) = -q(x)$ .

Данная задача является смешанной, поэтому сначала с помощью принципа Вольтерры [2] и преобразования Фурье по координате  $x$  необходимо решить вспомогательную задачу, чтобы найти зависимость производной вертикального перемещения границы полуплоскости от действующей на нее нормальной нагрузки [3].

**2. Вывод и решение интегрального уравнения.** Искомая зависимость производной перемещения под штампом от приложенной нагрузки в подвижных координатах имеет вид [4]

$$u'_2(x, 0) = -\frac{1}{\pi\Theta_f} \int_{-a}^a q(\xi)M(\xi - x) d\xi,$$

$$M(w) = \frac{1}{w} - \frac{k}{V} \exp\left(\frac{w}{\mu V}\right) \text{Ei}\left(-\frac{w}{\mu V}\right),$$

$$k = \frac{1}{\gamma} - \frac{1}{\mu}, \quad \Theta_f = \frac{G_f}{1 - \nu},$$

где  $\text{Ei}(w)$  — интегральная показательная функция.

С учетом (1.2) интегральное уравнение для определения контактного давления принимает вид

$$\frac{1}{\pi\Theta_f} \int_{-a}^a q(\xi)M(\xi - x) d\xi = \delta'_0(x). \quad (2.1)$$

Согласно [4] выражение для  $M(w)$  можно представить следующим образом:

$$M(w) = -\frac{1}{2} i \int_{-\infty}^{\infty} \left(1 + \frac{k}{\mu^{-1} - Vsi}\right) \text{sgn}(s) e^{isw} ds. \quad (2.2)$$

Заменим уравнения (2.1), (2.2) следующими уравнениями:

$$\int_{-a}^a q(\xi)N(\xi - x) d\xi = \Theta_f \delta_0(x),$$

$$N(w) = \frac{1}{2\pi} \int_{-\infty}^{\infty} \left(1 + \frac{k}{\mu^{-1} - Vsi}\right) \frac{1}{\sqrt{s^2 + \beta^2}} e^{isw} ds. \quad (2.3)$$

Исходные уравнения (2.1), (2.2) получаются из (2.3) путем дифференцирования по  $x$  и приравнивания  $\beta$  к нулю.

После замены переменной  $s = \alpha/(\mu V)$  второе выражение в (2.3) принимает вид

$$N(w) = \frac{1}{2\pi} \int_{-\infty}^{\infty} \frac{\alpha + bi}{\alpha + i} \frac{1}{\sqrt{\alpha^2 + \beta^2}} \exp\left(\frac{i\alpha w}{\mu V}\right) d\alpha, \quad b = 1 + k\mu = \frac{\mu}{\gamma}.$$

Введем следующие безразмерные величины и обозначения:

$$x' = \frac{x}{a}, \quad \xi' = \frac{\xi}{a}, \quad \varphi(x') = \frac{q(x)}{\Theta_f}, \quad \lambda = \frac{\mu V}{a}, \quad g(x') = \frac{\delta_0(x)}{a}, \quad \varepsilon = \beta \mu V.$$

Тогда уравнения (2.3) записываются в виде (штрихи у  $x'$  и  $\xi'$  опущены)

$$\int_{-1}^1 \varphi(\xi) N\left(\frac{\xi - x}{\lambda}\right) d\xi = g(x),$$

$$N\left(\frac{w}{\lambda}\right) = \frac{1}{2\pi} \int_{-\infty}^{\infty} \frac{\alpha + bi}{\alpha + i} \frac{1}{\sqrt{a^2 + \varepsilon^2}} \exp\left(\frac{i\alpha w}{\lambda}\right) d\alpha. \quad (2.4)$$

Решим уравнение (2.4) методом “малых  $\lambda$ ” [3, 5]. Рассмотрим систему трех интегральных уравнений

$$\int_{-1}^{\infty} \varphi_+(\xi) N\left(\frac{\xi - x}{\lambda}\right) d\xi = g(x) + \int_{-\infty}^{-1} [\varphi_-(\xi) - \varphi_0(\xi)] N\left(\frac{\xi - x}{\lambda}\right) d\xi, \quad x \in [-1, \infty),$$

$$\int_{-\infty}^1 \varphi_-(\xi) N\left(\frac{\xi - x}{\lambda}\right) d\xi = g(x) + \int_1^{\infty} [\varphi_+(\xi) - \varphi_0(\xi)] N\left(\frac{\xi - x}{\lambda}\right) d\xi, \quad x \in (-\infty, 1];$$

$$\int_{-\infty}^{\infty} \varphi_0(\xi) N\left(\frac{\xi - x}{\lambda}\right) d\xi = g(x), \quad x \in (-\infty, \infty). \quad (2.6)$$

Складывая уравнения (2.5) и вычитая (2.6) на общем участке  $|x| \leq 1$ , можно показать, что решение уравнения (2.4) представляет собой линейную комбинацию решений уравнений (2.5), (2.6)

$$\varphi(x) = \varphi_+(x) + \varphi_-(x) - \varphi_0(x). \quad (2.7)$$

Выполнив в левой части первого уравнения (2.5) замену переменных  $t = (1 + x)/\lambda$ ,  $\tau = (1 + \xi)/\lambda$ , а в правой —  $\tau = (1 - \xi)/\lambda$ , в левой части второго уравнения (2.5) —  $t = (1 - x)/\lambda$ ,  $\tau = (1 - \xi)/\lambda$ , а в правой —  $\tau = (1 + \xi)/\lambda$ , получаем

$$\int_0^{\infty} \zeta(\tau) N(t - \tau) d\tau = h_1(t) + \int_{2/\mu}^{\infty} [\eta(\tau) - \chi_2(\tau)] N\left(\frac{2}{\lambda} - \tau - t\right) d\tau,$$

$$\int_0^{\infty} \eta(\tau) N(t - \tau) d\tau = h_2(t) + \int_{2/\mu}^{\infty} [\zeta(\tau) - \chi_1(\tau)] N\left(-\frac{2}{\lambda} + \tau + t\right) d\tau, \quad (2.8)$$

$$t \in [0, \infty),$$

где

$$\begin{aligned} \zeta(t) &= \varphi_+(\lambda t - 1), & h_1(t) &= \lambda^{-1} g(\lambda t - 1), & \chi_1(t) &= \varphi_0(\lambda t - 1), \\ \eta(\tau) &= \varphi_-(1 - \lambda \tau), & h_2(t) &= \lambda^{-1} g(1 - \lambda t), & \chi_2(t) &= \varphi_0(1 - \lambda t). \end{aligned} \quad (2.9)$$

Так как параметр  $\lambda$  мал, то интегралы в правых частях уравнений (2.8) можно опустить. В этом случае получаем следующие интегральные уравнения для определения  $\zeta(t)$ ,  $\eta(t)$ ,  $\varphi_0(x)$ :

$$\begin{aligned} \int_0^{\infty} \zeta(\tau) N(t - \tau) d\tau &= h_1(t), & t \in [0, \infty), \\ \int_0^{\infty} \eta(\tau) N(t - \tau) d\tau &= h_2(t), & t \in [0, \infty), \\ \int_{-\infty}^{\infty} \varphi_0(\xi) N\left(\frac{\xi - x}{\lambda}\right) d\xi &= g(x), & x \in (-\infty, \infty). \end{aligned} \quad (2.10)$$

Далее рассматривается случай плоского штампа:

$$g(x) \equiv g, \quad g = \text{const}. \quad (2.11)$$

Первые два уравнения в (2.10) запишем в виде

$$\begin{aligned} \int_{-\infty}^{\infty} \zeta_+(\tau) N(t - \tau) d\tau &= r_+(t) + e_-(t), \\ \int_{-\infty}^{\infty} \eta_+(\tau) N(t - \tau) d\tau &= r_+(t) + j_-(t), \\ -\infty < t < \infty, \end{aligned} \quad (2.12)$$

где

$$\begin{aligned} \zeta_+(t) &= \frac{1}{2} (1 + \text{sgn}(t)) \zeta(t), & \eta_+(t) &= \frac{1}{2} (1 + \text{sgn}(t)) \eta(t), \\ e_-(t) &= \frac{1}{2} (1 - \text{sgn}(t)) e(t), & j_-(t) &= \frac{1}{2} (1 - \text{sgn}(t)) j(t), \\ r_+(t) &= \frac{1}{2} (1 + \text{sgn}(t)) g \lambda^{-1}, \\ e(t) &= \int_0^{\infty} \zeta(\tau) N(\tau - t) d\tau, & j(t) &= \int_0^{\infty} \eta(\tau) N(t - \tau) d\tau. \end{aligned}$$

Применяя к уравнениям (2.12) преобразование Фурье

$$F(\alpha) = \int_{-\infty}^{\infty} f(t) e^{i\alpha t} dt,$$

получаем краевые задачи Римана [6, 7]

$$\begin{aligned} Z_+(\alpha) K_1(\alpha) &= R(\alpha) + E_-(\alpha), & H_+(\alpha) K_2(\alpha) &= R(\alpha) + J_-(\alpha), \\ K_1(\alpha) &= \frac{\alpha + bi}{\alpha + i} \frac{1}{\sqrt{\alpha^2 + \varepsilon^2}}, & K_2(\alpha) &= \frac{\alpha - bi}{\alpha - i} \frac{1}{\sqrt{\alpha^2 + \varepsilon^2}}, & R(\alpha) &= \frac{gi}{\lambda\alpha}, \end{aligned} \quad (2.13)$$

где  $Z_+(\alpha), H_+(\alpha), E_-(\alpha), J_-(\alpha)$  — трансформанты Фурье от функций  $\zeta_+(t), \eta_+(t), e_-(t), j_-(t)$  соответственно. Согласно [3]  $Z_+(z), H_+(z)$  являются регулярными функциями комплексной переменной  $z = \alpha + iy$  в верхней полуплоскости, так как они являются трансформантами Фурье от функций, равных нулю при  $t < 0$ , а функции  $E_-(z), J_-(z)$  регулярны в нижней полуплоскости, так как они являются трансформантами Фурье от функций, равных нулю при  $t > 0$ . Можно также показать, что  $E_-(z), J_-(z)$  непрерывны при  $\text{Im}(z) = 0$ .

Предположим, что функции  $\zeta(t) = O(t^{-p}), \eta(t) = O(t^{-p}), 0 < p < 1$  при  $t \rightarrow 0$ . Тогда согласно [3]  $Z_+(z) = O(z^{1-p}), H_+(z) = O(z^{1-p})$  при  $|z| \rightarrow \infty$ .

Для функций  $E_-(z), J_-(z)$  справедливы оценки [3]

$$E_-(z) = O(\alpha^{-1}), \quad J_-(z) = O(\alpha^{-1}), \quad \alpha \rightarrow \infty,$$

так как эти функции являются трансформантами ограниченных функций.

Факторизуем функции  $K_{1,2}(\alpha)$ , т. е. представим их в виде произведения непрерывных краевых значений двух функций  $K_{1,2}^+(\alpha)$  и  $K_{1,2}^-(\alpha)$ , регулярных в верхней и нижней полуплоскостях соответственно:

$$K_1^+(\alpha) = \frac{\alpha + bi}{\alpha + i} \frac{1}{\sqrt{\alpha + i\varepsilon}}, \quad K_1^-(\alpha) = \frac{1}{\sqrt{\alpha - i\varepsilon}},$$

$$K_2^+(\alpha) = \frac{1}{\sqrt{\alpha + i\varepsilon}}, \quad K_2^-(\alpha) = \frac{\alpha - bi}{\alpha - i} \frac{1}{\sqrt{\alpha - i\varepsilon}}.$$

Тогда уравнения (2.13) можно записать в виде

$$Z_+(\alpha)K_1^+(\alpha) = \frac{R(\alpha)}{K_1^-(\alpha)} + \frac{E_-(\alpha)}{K_1^-(\alpha)}, \quad H_+(\alpha)K_2^+(\alpha) = \frac{R(\alpha)}{K_2^-(\alpha)} + \frac{J_-(\alpha)}{K_2^-(\alpha)}. \quad (2.14)$$

Представим функции  $R(\alpha)/K_{1,2}^-(\alpha)$  в виде суммы непрерывных краевых значений функций  $R_{1,2}^+(\alpha)$  и  $R_{1,2}^-(\alpha)$ , регулярных в верхней и нижней полуплоскостях соответственно:

$$R(\alpha)/K_{1,2}^-(\alpha) = R_{1,2}^+(\alpha) + R_{1,2}^-(\alpha),$$

$$R_1^+(\alpha) = -\frac{g\sqrt{\varepsilon}}{\lambda\alpha} \sqrt{i}, \quad R_1^-(\alpha) = \frac{gi}{\lambda\alpha} (\sqrt{\alpha - \varepsilon i} - \sqrt{-\varepsilon i}), \quad R_2^+(\alpha) = \frac{R_1^+(\alpha)}{b},$$

$$R_2^-(\alpha) = \frac{gi}{\alpha\lambda} (\sqrt{\alpha - \varepsilon i} - \sqrt{-\varepsilon i}) \frac{\alpha - i}{\alpha - bi} + \frac{gi\sqrt{-\varepsilon i}}{b\lambda} \frac{b - 1}{\alpha - bi}.$$

В этом случае имеем

$$Z_+(\alpha)K_1^+(\alpha) - R_1^+(\alpha) = R_1^-(\alpha) + E_-(\alpha)/K_1^-(\alpha),$$

$$H_+(\alpha)K_2^+(\alpha) - R_2^+(\alpha) = R_2^-(\alpha) + J_-(\alpha)/K_2^-(\alpha). \quad (2.15)$$

С учетом свойств  $E_-(\alpha), J_-(\alpha)$ , а также (2.14) можно сделать вывод, что правые части уравнений (2.15) являются непрерывными функциями, следовательно, и левые части также непрерывны.

Левые и правые части уравнений (2.15) представляют собой краевые значения функций, регулярных в верхней и нижней полуплоскостях комплексной переменной  $z$ . Тогда согласно теореме об аналитическом продолжении [6] эти функции являются единой аналитической функцией во всей комплексной плоскости. Согласно обобщенной теореме Лиувилля, а также с учетом того, что функции, краевыми значениями которых являются левые

и правые части (2.15), при  $\alpha \rightarrow \infty$  стремятся к нулю, единая аналитическая функция тождественно равна нулю. Тогда

$$Z_+(\alpha) = \frac{R_1^+(\alpha)}{K_1^+(\alpha)} = \frac{g\sqrt{\varepsilon}}{\lambda} \frac{\alpha + i}{\alpha + bi} (-\sqrt{i}) \frac{\sqrt{\alpha + i\varepsilon}}{\alpha},$$

$$H_+(\alpha) = \frac{R_2^+(\alpha)}{K_2^+(\alpha)} = \frac{g\sqrt{\varepsilon}}{b\lambda} (-\sqrt{i}) \frac{\sqrt{\alpha + i\varepsilon}}{\alpha}.$$

Используя обратное преобразование Фурье

$$f(t) = \frac{1}{2\pi} \int_{-\infty}^{\infty} F(\alpha) e^{-i\alpha t} d\alpha,$$

найдем функции  $\zeta(t)$ ,  $\eta(t)$ :

$$\zeta(t) = \frac{g\sqrt{\varepsilon}}{\lambda} \zeta_1(t), \quad \eta(t) = \frac{g\sqrt{\varepsilon}}{\lambda} \eta_1(t),$$

$$\zeta_1(t) = \sqrt{\varepsilon} I(t\varepsilon) - (b-1) \int_{-\infty}^t \sqrt{\varepsilon} I(\varepsilon\xi) e^{-b(t-\xi)} d\xi, \quad \eta_1(t) = \sqrt{\varepsilon} I(t\varepsilon), \quad (2.16)$$

$$I(t) = \frac{e^{-t}}{\sqrt{\pi t}} + \operatorname{erf}(\sqrt{t})$$

( $\operatorname{erf}(t)$  — функция ошибок) [3]. При вычислении оригиналов использовались интегралы [3]

$$\frac{1}{2\pi} \int_{-\infty}^{\infty} (-\sqrt{i}) \frac{\sqrt{\alpha + i}}{\alpha} e^{-i\alpha t} d\alpha = h(t)I(t),$$

$$\frac{1}{2\pi} \int_{-\infty}^{\infty} \frac{\alpha + i}{\alpha + bi} e^{-i\alpha t} d\alpha = -(b-1)h(t)e^{-bt} + \delta(t),$$

а также теорема о свертке и подобии для преобразования Фурье. В приведенных формулах  $h(t)$  и  $\delta(t)$  — функции Хевисайда и Дирака соответственно.

Рассмотрим уравнение (2.10), представив ядро (2.4) в виде

$$N(w) = \frac{1}{2\pi} \int_{-\infty}^{\infty} K(\alpha) \exp(-i\alpha w) d\alpha, \quad K(\alpha) = \lambda \frac{\lambda\alpha - bi}{\lambda\alpha - i} \frac{1}{\sqrt{(\lambda\alpha)^2 + \varepsilon^2}}. \quad (2.17)$$

Решение уравнения (2.10) с ядром (2.17) может быть получено с помощью преобразования Фурье [3]:

$$\varphi_0(x) = \frac{1}{2\pi} \int_{-\infty}^{\infty} \int_{-\infty}^{\infty} g(\xi) e^{i\alpha\xi} d\xi \frac{e^{-i\alpha x}}{K(\alpha)} d\alpha.$$

С учетом (2.11), а также интеграла [3]

$$\delta(x) = \frac{1}{2\pi} \int_{-\infty}^{\infty} e^{i\alpha x} d\alpha$$

имеем

$$\varphi_0(x) = \frac{g}{K(0)} = \frac{g\varepsilon}{b\lambda}. \quad (2.18)$$

В результате приближенное решение уравнения (2.4) при  $|x| \leq 1$  с учетом формул (2.7), (2.9), (2.16), (2.18) имеет вид

$$\varphi(x) = \frac{g\sqrt{\varepsilon}}{\lambda} \left[ \zeta_1 \left( \frac{1+x}{\lambda} \right) + \eta_1 \left( \frac{1-x}{\lambda} \right) - \frac{\sqrt{\varepsilon}}{b} \right]. \quad (2.19)$$

Таким образом, получено приближенное решение уравнения (2.3). Осталось получить решение уравнений (2.1), (2.2). Для этого необходимо найти связь между величинами

$$N_0 = \int_{-1}^1 \varphi(\xi) d\xi$$

и  $g\sqrt{\varepsilon}\lambda^{-1}$ , поскольку решение уравнений (2.1), (2.2) определяется с точностью до этой постоянной [4]. Проинтегрировав (2.19), получаем

$$g = N_0 \lambda / \left\{ \sqrt{\varepsilon} \int_{-1}^1 \left[ \zeta_1 \left( \frac{1+x}{\lambda} \right) + \eta_1 \left( \frac{1-x}{\lambda} \right) - \frac{\sqrt{\varepsilon}}{b} \right] dx \right\}.$$

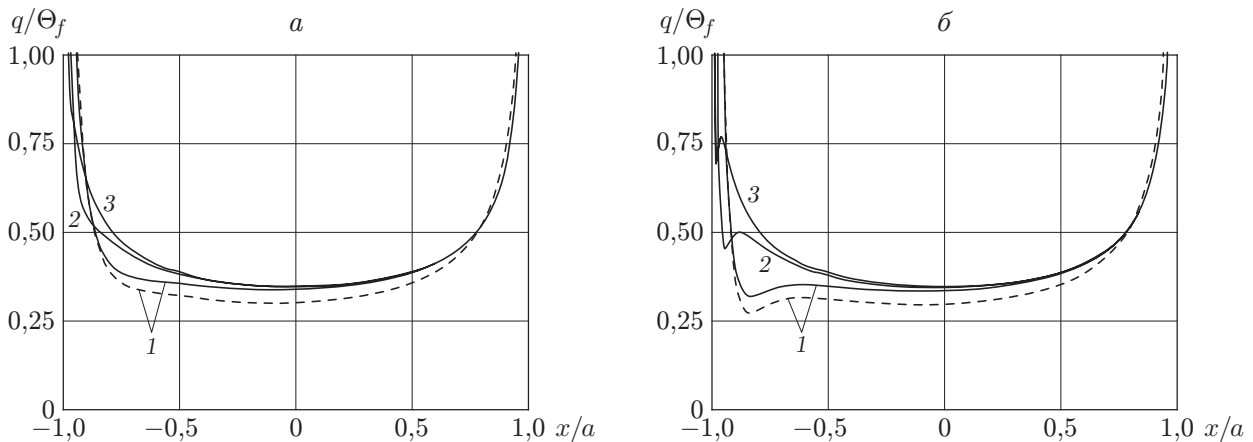
Подставляя эту формулу в (2.19) и устремляя параметр  $\varepsilon$  к нулю, получаем окончательное выражение для распределения безразмерного контактного давления под плоским штампом

$$\varphi(x) = N_0 \left( \frac{1}{\sqrt{\pi(1+x)}} - (b-1) \frac{\operatorname{erfi} \sqrt{(1+x)b\lambda^{-1}}}{\sqrt{b\lambda}} e^{-b(1+x)\lambda^{-1}} + \frac{1}{b} \frac{1}{\sqrt{\pi(1-x)}} \right) /$$

$$/ \int_{-1}^1 \left[ \frac{1}{\sqrt{\pi(1+x)}} - (b-1) \frac{\operatorname{erfi} \sqrt{(1+x)b\lambda^{-1}}}{\sqrt{b\lambda}} e^{-b(1+x)\lambda^{-1}} + \frac{1}{b} \frac{1}{\sqrt{\pi(1-x)}} \right] dx,$$

где  $\operatorname{erfi}(x) = -i \operatorname{erf}(ix)$ .

**3. Примеры.** Рассмотрим зависимости контактного давления от отношения  $b$  времен ползучести и релаксации, а также от безразмерной скорости движения  $\lambda$ . Для контроля



Распределения контактных давлений, полученные различными методами, при  $b = 2$  (а) и  $b = 3$  (б) в случае  $N_0 = 1$ :

сплошные линии — метод “малых  $\lambda$ ”, штриховые — метод Мультотпа — Каландии;  
 1 —  $\lambda = 3/16$ , 2 —  $\lambda = 1/16$ , 3 —  $\lambda = 1/48$

точности результатов приведем результаты решения уравнений (2.1), (2.2), полученные методом Мультиппа — Каландии [4, 8]. Метод Мультиппа — Каландии имеет иное математическое обоснование и относится к группе методов “больших  $\lambda$ ”. В этом случае можно предположить, что если при некотором значении  $\lambda_0$  оба метода дают близкие результаты, то при  $\lambda < \lambda_0$  достоверные результаты дает метод “малых  $\lambda$ ”, а при  $\lambda > \lambda_0$  — метод Мультиппа — Каландии.

На рисунке представлены распределения контактных давлений, полученные методом “малых  $\lambda$ ”, при отношении времен ползучести и релаксации  $b = 2, 3$  и  $N_0 = 1$ . При  $b = 2$  максимальное различие кривых  $I$  составляет 11 %, при  $b = 3$  — 14 %.

В случае  $b = 3$  при уменьшении скорости движения штампа локальный минимум на кривых зависимости  $q/\Theta_f(x/a)$  не исчезает, а становится уже и сдвигается вверх и влево. В предельном случае, когда штамп не движется, график является симметричным.

Автор выражает благодарность В. М. Александрову за ценные советы.

#### ЛИТЕРАТУРА

1. Развитие теории контактных задач в СССР / Под ред. Л. А. Галина. М.: Наука, 1976.
2. Работнов Ю. Н. Элементы наследственной механики твердых тел. М.: Наука, 1977.
3. Александров В. М. Задачи механики сплошных сред со смешанными граничными условиями / В. М. Александров, Е. В. Коваленко. М.: Наука, 1986.
4. Александров В. М., Марк А. В. Движение штампа с постоянной скоростью по границе вязкоупругого основания // Изв. РАН. Механика твердого тела. 2009. № 1. С. 135–142.
5. Механика контактных взаимодействий / Под ред. И. И. Воровича, В. М. Александрова. М.: Физматлит, 2001.
6. Гахов Ф. Д. Краевые задачи. М.: Наука, 1977.
7. Гахов Ф. Д. Уравнения типа свертки / Ф. Д. Гахов, Ю. И. Черский. М.: Наука, 1978.
8. Александров В. М. Контактные задачи в машиностроении / В. М. Александров, Б. Л. Ромалис. М.: Машиностроение, 1986.

*Поступила в редакцию 12/V 2011 г.,  
в окончательном варианте — 27/IX 2011 г.*